

بررسی نانوفسیلهای آهکی کرتاسه پیشین در برش رمشتیک (جنوب سرایان)

مراضیه نقطی مقدم^{۱*}، فاطمه هادوی^۲، لیدا خدادادی^۳

۱- استادیار گروه زمین شناسی، دانشگاه پیام نور، تهران، ایران

۲- استاد گروه زمین شناسی، دانشکده علوم، دانشگاه فردوسی مشهد، مشهد، ایران

۳- گروه زمین شناسی، دانشگاه پیام نور، تهران، ایران

*پست الکترونیک: m.n.moghaddam@gmail.com

تاریخ پذیرش: ۹۴/۸/۱۶

تاریخ دریافت: ۹۳/۹/۷

چکیده

در این پژوهش نهشته‌های کرتاسه پیشین در برش رمشتیک جهت مطالعات زیست‌چینه‌نگاری برمنای نانوفسیلهای آهکی، نمونه‌برداری گردید. برش نمونه برداری شده در جنوب سرایان است و براساس تقسیمات ساختاری ایران در حاشیه‌ی شرقی بلوک لوت قرار دارد. براساس مطالعات فسیل‌شناسی، ۳۳ گونه نانوفسیلی با تنوع نسبتاً بالا و حفظ شدگی خوب تا متوسط در برش رمشتیک شناسایی و معروفی شد. برمنای نانوفسیلهای آهکی موجود و بایوزون‌های CC3 تا CC5 از زون بندی Sissingh (1977)، سن توالی مورد بررسی والا نزینین پسین - هوتروین پسین تعیین شده است.

واژه‌های کلیدی: نانوفسیلهای آهکی؛ کرتاسه پیشین؛ رمشتیک؛ سرایان.

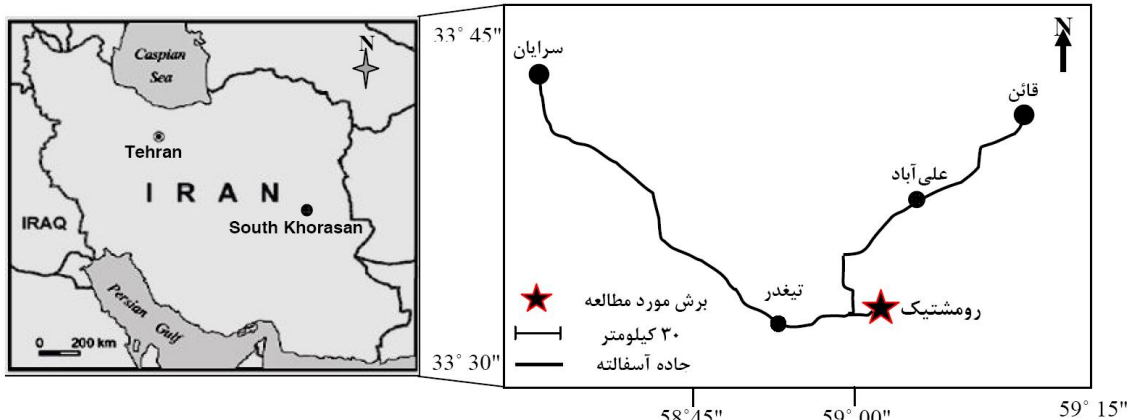
مقدمه

(۱۳۸۳). به دلیل شرایط خاص زمین‌شناسی و جایگاه ویژه تکتونیکی بلوک لوت، وجود فعالیتهای شدید ماگمایی و حضور توده‌های نفوذی، وجود گسلها و درز و شکافهای فراوان و وجود رخساره‌های مختلف دگرگونی در واحدهای مختلف سنگی، تصور بر این بوده که منطقه جهت مطالعات فسیل‌شناسی چندان مناسب نیست. از این رو مطالعات فسیل‌شناسی منطقه به نسبت اندک انجام است. در سالهای اخیر در خراسان جنوبی مطالعات نانوفسیل‌شناسی چندی انجام شده که غالباً نهشته‌های پالثوزن و نئوزن منطقه را شامل می‌شود. تنها کار منتشر شده در مورد نانوفسیلهای آهکی کرتاسه در برش گازک در شرق بیرجند صورت

بلوک لوت اولین بار توسط Stocklin (1968) به عنوان یکی از نه زون ساختاری ایران در شرق کشور معرفی گردید. تاکنون نظریات متعددی درباره موقعیت بلوک لوت و مرزهای آن ارائه شده است (Stocklin, 1972; Stocklin & Nabavi, 1973; Nowroozi, 1972 عقیده بیشتر زمین‌شناسان مرز شرقی بلوک لوت را گسل نهیندان، مرز غربی را گسل نایبند، مرز شمالی را گسل درونه و مرز جنوبی آن را فروافتادگی جازموریان تشکیل می‌دهد. بلوک لوت با روند شمالی - جنوبی و با درازای حدود ۹۰۰ کیلومتر و عرض حدود ۱۵۰ تا ۲۰۰ کیلومتر، شرقی‌ترین بخش خردقاره ایران مرکزی است (آقاباتی،

نانوفسیلهای آهکی، نهشته‌های کرتاسه پیشین در برش رمشتیک واقع در حاشیه شرقی بلوک لوت انتخاب و نمونه برداری شده‌اند.

گرفته و در آن به معرفی و سن‌یابی نهشته‌های موجود پرداخته شده است (هادوی و همکاران، ۱۳۹۰). در پژوهش پیش رو جهت مطالعات زیست چینه نگاری بر مبنای



شکل ۱: راه‌های دسترسی به برش مورد مطالعه

نمونه توسط کاردک مخصوص خشک و تمیز، تراشیده شده تا سطوح هوازده آن برداشته شود. سپس اندکی از نمونه تراشیده شده به صورت پودر روی لامل ریخته می‌شود. با افزودن یک قطره آب مقطور به پودر روی لامل، محلول نسبتاً غلیظی ایجاد می‌شود که پس از پخش شدن بر سطح لام، باید بلاغاً موقله بر روی اجاق برقی با حرارت ملایم خشک گردد. تمامی نمونه‌های آماده شده توسط میکروسکوپ سوری پلاریزان المپوس مطالعه و عکس برداری شدند. جهت شناسایی جنسها و گونه‌های نانوفسیلی از توصیف گونه‌ها که توسط Perch-Nielsen (1985) و Bown & Young (1998) ارائه گردیده است، استفاده شد.

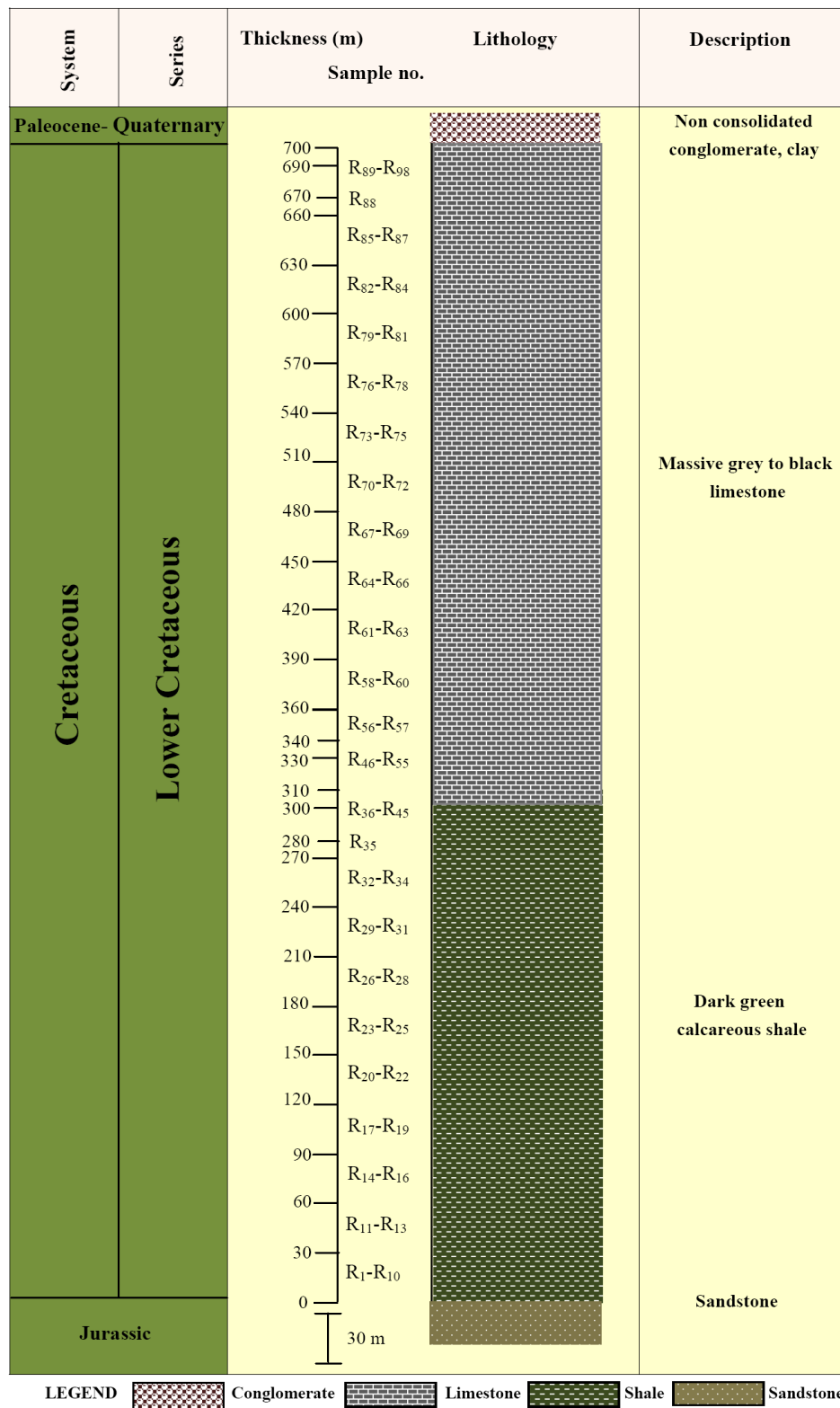
بحث

با توجه به گسترش زمانی نانوپلانکتونهای آهکی، این گروه از میکروفسیلها در کرتاسه پیشین از تنوع کمتری نسبت به کرتاسه پسین برخوردار بوده‌اند و لذا سیر گوناگونی آنها در طول این دوره به صورت ثابتی روند افزایش داشته است (Haq, 1978). نانوفسیلها معرفی شده در برش رمشتیک

موقعیت جغرافیایی و زمین‌شناسی برش مورد مطالعه روستای رمشتیک در جنوب شرق سرایان و در محدوده چهارگوش ۱:۱۰۰۰۰ قاین (Alavi Naini & Behruzi, 1981) در خراسان جنوبی واقع است (شکل ۱). توالی مورد مطالعه در برش رمشتیک متشكل از ۶۹۰ متر سنگ آهک و شیل است که ۳۰۰ متر زیرین آن از شیلهای آهکی سیز تیره و ۳۹۰ متر بالایی از سنگ آهک توده‌ای خاکستری تا سیاه رنگ تشکیل شده است. توالی مورد مطالعه بر روی ماسه سنگهای سازند قلعه دختر با سن ژوراسیک و در زیر کنگلومراها و میان لایه‌های رسی سنوزوئیک قرار گرفته است (Alavi Naini & Behruzi, 1981). از توالی مذکور با فواصل ۳ تا ۱۰ متری، تعداد ۹۸ نمونه برداشت شد که نمونه آن از بخش شیلی و ۵۳ نمونه آن متعلق به بخش کربناته می‌باشد (شکل ۲).

روش مطالعه

به دلیل اهمیت غیرهوازده بودن نمونه‌ها، نمونه برداری از عمق ۳۰ تا ۵۰ سانتی‌متری انجام شد. تمامی نمونه‌ها به روش اسمیراسلاید آماده سازی شدند. در این روش سطح



شکل ۲: ستون سنگ چینه‌ای برش رمشتیک (سن واحدهای ماسه سنگی زیرین و کنگلومرات بالایی براساس نقشه زمین‌شناسی ۱:۱۰۰۰۰۰ قاین)

این برش مشاهده شده‌اند. این جنسها قبلاً به کرتاسه پیشین

۳۳ گونه متعلق به ۱۸ جنس مختلف هستند. برخی از جنس‌های متعلق به تیتونین شامل *Conusphaera*

وسيعی برمنای آنها در زمانهای مختلف انجام شده و زونبندیهای متعددی نیز توسط محققین مختلف ارائه شده است. در این بین (1976) Thierstein، (1978) Roth، (1983) Wise و (1979، 1983) Perch-Nielsen زونبندیهای را برای نهشته‌های کرتاسه ارائه کرده‌اند، اما از آن جا که زونبندی Sissingh (1977) در کرتاسه بسیار کامل بوده و گونه‌های شاخص بایوزونهای مربوط به این زونبندی از فراوانی و گسترش جهانی خوبی برخوردارند، لذا سایر مؤلفین زونبندی خود را با این زونبندی انطباق داده‌اند (شکل ۵). بایوزونهای مذکور برمنای اولین یا آخرین حضور گونه‌های شاخص و مجموعه فسیلهای همراه آنها تعریف می‌شوند. در این مطالعه غالباً از تعاریف براساس تعریف (1976) Thierstein استفاده شده به جز بایوزون CC4 که Sissingh (1977) این استفاده را با این شناسایی شده است. وی تعریف این بایوزون را برمنای اولین حضور گونه دیگری می‌داند (رجوع به شرح بایوزون CC4).

در این برش برمنای گونه‌های شاخص نانوفسیلی به ترتیب بایوزونهای CC3 تا CC5 از زونبندی Sissingh (1977) برای توالی مورد مطالعه پیشنهاد می‌گردد (شکل ۶). در ادامه به شرح هر یک از بایوزونهای شناسایی شده و نتایج حاصل از آن در برش رمشتیک پرداخته می‌شود:

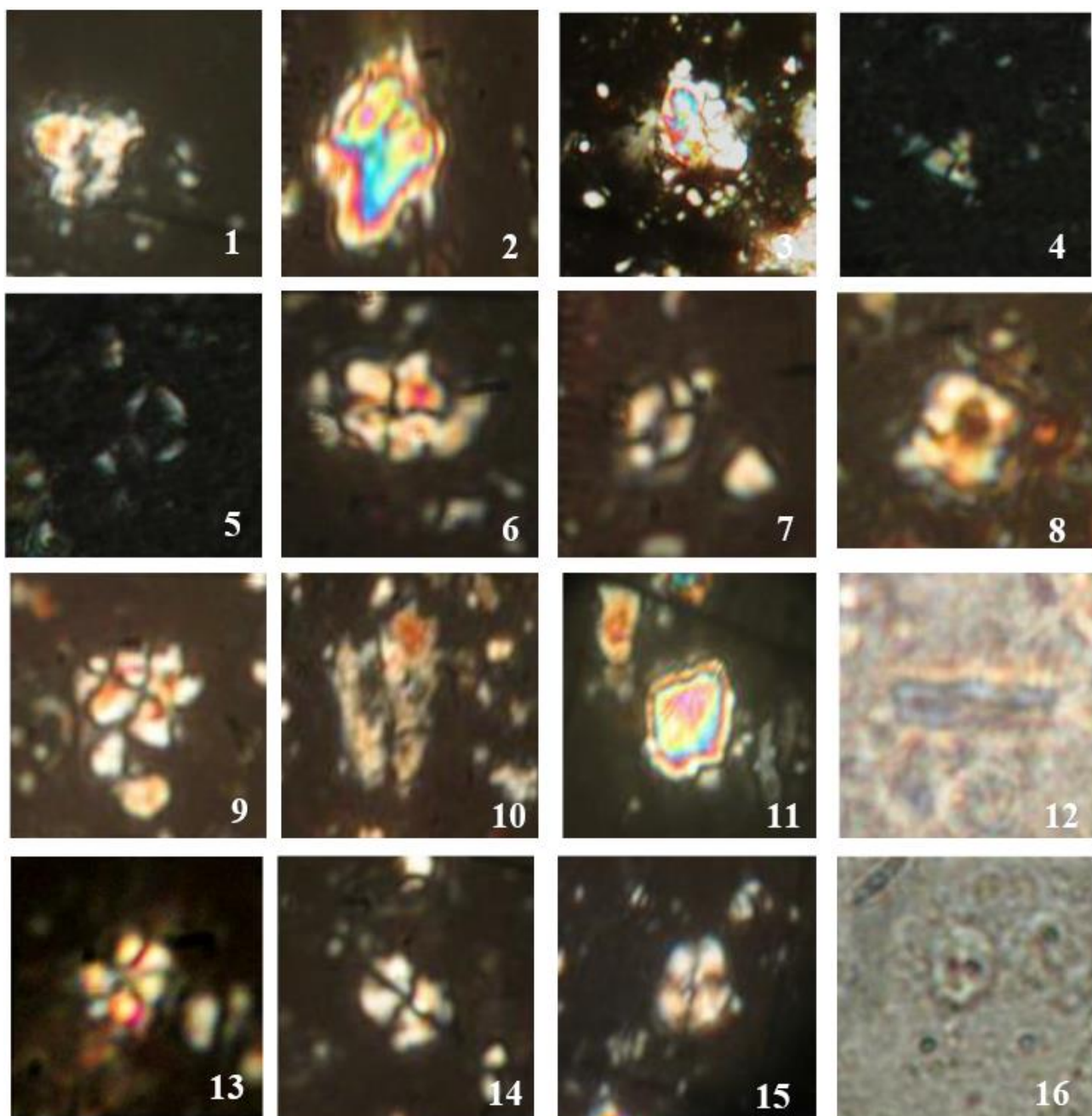
CALCICALATHINA OBLONGATA ZONE (CC3)

تعریف این بایوزون طبق زونبندی Sissingh (1977) از ظهور گونه *Calcicalathina oblongata* تا ظهور گونه *Cretarhabdus loriei* و سن آن والانژین پسین می‌باشد (Perch-Nielsen, 1985). از آن جا که در این مطالعه گونه *Calcicalathina oblongata* از نمونه ابتدایی مشاهده شده است، لذا شروع توالی مطالعه شده بایوزون CC3 از زونبندی Sissingh (1977) می‌باشد.

نسبت داده شده بودند، اما Bown (1999) ظهور آنها را در انتهای تیتوینین می‌داند. در میان گونه‌های شناسایی شده، *Nannoconus quadratus* *Nannoconus dolomiticus* در *Nannoconus bronimannii* و *Nannoconus bonetii* بخش‌های زیرین برش و گونه‌های *Nannoconus circularis abundans* *Assipetra* و *Lithraphidites bollii borealis* در قسمتهای بالایی توالی فراوان ترند. گونه‌های *Calcicalathina Assipetra infracretacea* *Nannoconus Conusphaera mexicana oblongata* *Watznaueria Polycastella beckmanii steinmanii* *Watznaueria biporta barnesae* نیز در بیشتر نمونه‌ها و در سراسر برش دیده می‌شوند. تصاویر اغلب گونه‌های شناسایی شده در برش رمشتیک که از کیفیت مناسب‌تری برخوردار بودند، در شکلهای ۳ و ۴ آمده است.

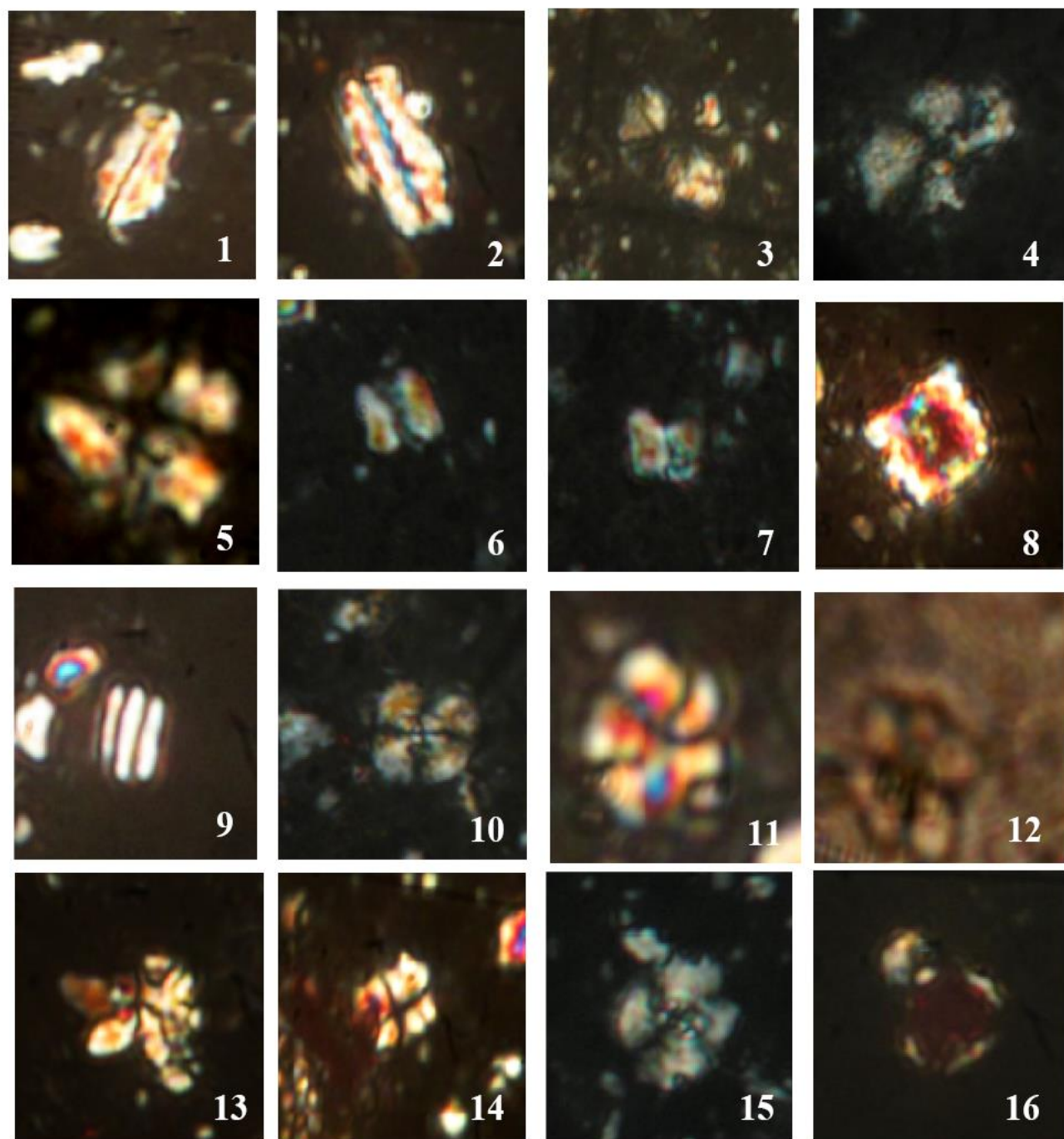
حفظ شدگی نانوفسیلهای مطالعه شده، همان طور که در شکلهای ۳ و ۴ نیز مشخص است خوب تا متوسط می‌باشد. از آن جا که جزئیات ساختاری نانوفسیلها به وضوح مشخص بوده و کانالهای مرکزی *Nannoconus* نیز کاملاً باز می‌باشد، می‌توان اذعان داشت که عامل انحلال در زمان رسوب گذاری در حوضه تأثیرگذار نبوده است. از سوی دیگر دیاژنر نیز بر روی نانوفسیلها تأثیر چندانی نداشته و این به دلیل سنگ شناسی نسبتاً نرم نمونه‌هاست. از این رو عدم تأثیر دو عامل مذکور (انحلال و دیاژنر) می‌تواند عامل حفظ شدگی خوب نانوفسیلها باشد.

زیست چینه نگاری و تعیین سن برش مورد مطالعه گسترش جغرافیایی وسیع و بازه زمانی کوتاه نانوپلاتکتونهای آهکی موجب شده که این گروه ابزاری مهم در مطالعات زیست چینه نگاری لایه‌های مزوژوئیک و سنوژوئیک باشند. از این رو مطالعات زیست چینه نگاری



شکل ۲ تصاویر میکروسکپ نوری نانوفسیلهای آهکی شناسایی شده با بزرگنمایی X 1250

1. *Nannoconus borealis* Perch-Nielsen, 1979, PNU-No.Rumeshtik88; 2. *Nannoconus quadratus*, (Noel, 1959) Deres & Acheriteguy, 1980, PNU-No.Rumeshtik 16; 3: *Nannoconus* sp.1, PNU-No.Rumeshtik25; 4. *Tetralithus pseudotrifidus* Jafar, 1985, PNU-No.Rumeshtik85; 5. *Manivitella pemmatoides* Thierstein, 1971, PNU-No.Rumeshtik55; 6. *Rucinolithus wisei* Thierstein, 1971, PNU-No.Rumeshtik2; 7. *Repagulum parvidentatum* (Deflandre & Fert, 1954) Forchheimer, 1972, PNU-No.Rumeshtik57; 8. *Assipetra infracretacea* (Thierstein, 1973) Roth, 1973, PNU-No.Rumeshtik64; 9. *Tetralithus cassianus* Jafar, 1985, PNU-No.Rumeshtik32; 10. *Nannoconus steinmanni* Kamptner, 1931, PNU-No.Rumeshtik34; 11. *Nannoconus circularis* Deres & Acheriteguy, 1986, PNU-No.Rumeshtik87; 12. *Nannoconus dolomiticus* Cita & Pasquare, 1959, PNU-No.Rumeshtik22; 13. *Polycostella beckmanii* Thierstein, 1971, PNU-No.Rumeshtik10; 14. *Watznaueria barnesae* (Black in Black & Barnes, 1959) Perch- Nielsen, 1968, PNU-No.Rumeshtik67; 15-16: *Watznauria biporta* Bukry, 1969, PNU-No.Rumeshtik55.



شکل ۴: تصاویر میکروسکپ نوری نانوفسیلهای آهکی شناسایی شده با بزرگنمایی X1250

- 1-2. *Lithraphidites bolli* Thierstein, 1971, PNU-No.Rumeshtik79, 87; 3-5. *Calcicalathina oblongata* Worsley, 1971 (Thierstein, 1971), PNU-No.Rumeshtik70, 82, 86; 6. *Nannoconus broennimannii*, Trejo, 1959, PNU-No.Rumeshtik13; 7-8. *Nannoconus abundans* Stradner & Grun, 1973, PNU-No.Rumeshtik83, 86; 9. *Conusphaera mexicana* Trejo, 1969, PNU-No.Rumeshtik; 10. *Cyclogelosphaera margerelii* Noel, 1965, PNU-No.Rumeshtik16; 11-12. *Assipetra terebrodentarius* (Applegate et al. in Covington & Wise, 1987) Rutledge & Bergen in Bergen, 1994, PNU-No.Rumeshtik85; 13. *Hayesites* sp., PNU-No.Rumeshtik62; 14. *Micrantonolithus* sp., PNU-No.Rumeshtik47; 15. *Cyclogelosphaera deflandrei*, (Manivit, 1966) Roth, 1973, PNU-No.Rumeshtik13; 16. *Nannoconus bonetti*, PNU-No.Rumeshtik16

AGE ★	THIERSTEIN (1976) cosmop. trop. bor.	ROTH (1978) cosmopolitan	WISE (1983) s S Atlantic	VERBEEK (1977b) Tunisia, France, Spain	SLESSINGH (1977) Europe, Tunisia	PERCH-NIELSEN (1979a, 1983) cosmopolitan	DOEVEN (1983) Canadian Atlantic Margin
	<i>M. murus</i> N. frequens	<i>M. murus/N. freq.</i>	23 <i>C. daniae</i>	<i>M. murus</i>	<i>N. frequens</i>	26 <i>M. prinsii</i>	<i>N. frequens</i>
	— <i>L. quadratus</i>	— <i>L. quadratus</i>	22 <i>B. magnum</i>	<i>L. quadratus</i>	— <i>A. cymbiformis</i>	25 <i>M. murus</i>	— <i>L. quadratus</i>
	— <i>L. paequadratus</i>	— <i>L. paequadratus</i>	21		<i>R. levius</i>	24 <i>R. levius</i>	— <i>A. cymbiformis</i> — <i>R. levius</i>
				<i>O. trifidum</i>	<i>T. phacelosus</i>	23 <i>A. parcus</i>	— <i>T. phacelosus</i>
	<i>T. trifidus</i>	20 <i>B. coronum</i>			<i>R. anthroporus</i>	<i>R. anthroporus</i>	— <i>Q. trifidum</i>
	— <i>T. trifidus</i>	— <i>T. aculeus</i>	19		<i>E. eximius</i>	<i>E. eximius</i>	— <i>Q. gothicum</i>
	— <i>C. aculeus</i>				<i>R. levis</i>	<i>R. levis</i>	— <i>C. aculeus</i>
		<i>B. parca</i>	18		<i>M. furcatus</i>	22 <i>L. grillii</i>	— <i>M. furcatus</i>
	— <i>B. parca</i>	<i>T. obscurus</i>				21 <i>Q. trifidum</i>	— <i>B. parca</i>
		— <i>T. obscurus</i> — <i>M. concava</i>	17	<i>L. floralis</i>		20 <i>Q. sisringhi</i>	— <i>C. obscurus</i>
		— <i>B. facinosa</i>	16		<i>Z. spiralis</i>	17 <i>A. parcus</i>	— <i>L. cayeuxii</i>
					<i>R. hayii</i>	<i>B. hayii</i>	— <i>M. concava</i>
				<i>M. furcatus</i>	<i>R. hayii</i>	16 <i>C. obscurus</i>	— <i>R. anthroporus</i>
					<i>M. stauropora</i>	15 <i>L. cayeuxii</i>	— <i>G. striatum</i>
				<i>K. magnificus</i>	<i>M. furcatus</i>	14 <i>L. septenarius</i>	— <i>B. turvata lacunosa</i>
				— <i>M. stauropora</i>		13 <i>M. decussata</i>	— <i>Kampnerius</i>
				<i>G. obliquum</i>	<i>L. maleiformis</i>	12 <i>M. eximius</i>	— <i>M. decussata</i>
				— <i>L. alatus</i>	<i>Q. gartneri</i>	11 <i>E. eximius</i>	— <i>L. maleiformis</i>
					<i>M. decoratus</i>	10 <i>L. chiastrus</i>	— <i>G. obliquum</i>
						9 <i>M. decussatus</i>	— <i>L. acutus</i>
						9 <i>C. kennedyi</i>	— <i>M. chiastrus</i>
						9 <i>B. africana</i>	— <i>W. britannica</i>
						9 <i>E. turriseffelii</i>	— <i>E. turriseffelii</i>
						8 <i>P. columnata</i>	— <i>P. columnata</i>
						8 <i>P. columnata</i>	— <i>B. africana</i>
						7 <i>E. antiquus</i>	— <i>C. mexicana</i>
						7 <i>E. antiquus</i>	— <i>M. obtusus</i>
						6 <i>M. hischuzzii</i>	— <i>E. floralis</i>
						6 <i>C. oblongata</i>	— <i>R. irregularis</i>
						5 <i>L. bolivi</i>	— <i>C. oblongata</i>
						5 <i>S. colligata</i>	— <i>D. rectus</i>
						4 <i>C. loriei</i>	— <i>C. loriei</i>
						4 <i>E. antiquus</i>	— <i>M. speironensis</i>
							3 <i>D. rectus</i>
							3 <i>M. speironensis</i>
							3 <i>T. verenae</i>
							2 <i>C. oblongata</i>
							2 <i>C. crenulata</i>
							2 <i>S. colligata</i>
							1 <i>P. beckmanni</i>
							1 <i>C. cavigillieri</i>
							1 <i>M. obtusus</i>
							1 <i>P. senaria</i>
							1 <i>L. carniolensis</i>
							1 <i>R. laffittei</i>
							1 <i>N. steinmanni</i>
							1 <i>N. steinmanni</i>

شکل ۵: نمودار تطبیق زون‌بندی‌های زیستی کرتاسه بر مبنای نادوفیل‌های آهکی (اقتباس از ۱۹۸۵ Perch-Nielsen)

SERIES	SYSTEIM	CRETACEOUS	LOWER CRETACEOUS	LATE VALANGINIAN	EARLY HAUTERIVIAN	LATE HAUTE.	STAGE	BIOZONE(Sisimgh., 1977)	CC3	CC4	CCS	SAMPLE NO	THICKNESS (m)	
5														
10														
15														
20														
25														
30														
35														
40														
45														
50														
55														
58														
61														
64														
67														
70														
73														
76														
79														
79														
82														
85														
88														
630														
660														
690														
720														
Nanococcus stenmannii														
Assipetra infracratica														
Tetralithus cassianus														
Watizauera bipora														
Watizauera barmeiae														
Tetralithus pseudotifidus														
Polycoetella beekmannii														
Conusphaera mexicana														
Calciacalathina oblongata														
Nanococcus quadratus														
Nanococcus dolomiticus														
Reticulithus wiseti														
Nanococcus bronimannii														
Cyclolosphaera deflandrei														
Nanococcus bonetti														
Retepagulum parvidentatum														
Lithraphidites boilli														
Manivellella pectinatidea														
Microstaururus chiasinus														
Assipetra terpedonaria														
Nanococcus abundans														
Nanococcus borealis														
Nanococcus circularis														
Nanococcus bermedezii														
Nanococcus ovifermis														
Zuegħrabdatus erectus														

شکل ۳: گسترش زیست‌چینی‌ای نانوفسیلهای آهکی برش رمشتیک

LITHRAPHIDITES BOLLII ZONE (CC5)

شروع این بایوزون طبق تعریف Sissingh (1977) از آخرین حضور گونه *Speetonia colligate* تا آخرین حضور گونه *Calcicalathina oblongata* مشخص می‌گردد و سنی معادل با هوتروین پسین -بارمین آغازین دارد (Perch-Nielsen, 1985). اولین حضور گونه Taylor (1979) در هوتروین پسین بوده و این گونه شاخص هوتروین پسین می‌باشد. با توجه به این مطلب و حضور این گونه در نمونه‌های مورد مطالعه وجود حضور گونه *Calcicalathina oblongata* در بخش‌های انتهایی برش بررسی شده، سن انتهایی ترین بخش برش، هوتروین پسین می‌باشد و اگرچه تعریف بایوزون CC5 بخشی از بارمین آغازین را دربرمی‌گیرد، اما به دلایل ذکر شده و همچنین به دلیل نبود گونه‌های شاخص بارمین، محدوده زمانی بارمین در نهشته‌های مورد مطالعه وجود ندارد و لذا سن انتهایی ترین بخش توالی هوتروین پسین است.

ضخامت این بایوزون در برش رمشتیک ۱۰۰ متر مشتمل بر سنگ آهکهای خاکستری رنگ بوده و نانوفسیلهای همراه آن در این برش شامل گونه‌های *Nannoconus* و *Nannoconus circularis bermudezii* و *Nannoconus borealis* است. بر پایه بایوزونهای معرفی شده (CC3 تا CC5) و مجموعه فسیل‌های شاخص همراه، سن توالی مورد مطالعه والانزین پسین - هوتروین پسین می‌باشد. نانوفسیلهای شناسایی شده در این مطالعه با فرمهای گزارش شده از گذر سازندهای مزدوران و سوریجه در برش طاهرآباد (Hadavi & Khodadadi, 2013) و گذر سازندهای سوریجه - تیرگان در برش‌های کلات و مزدوران (خدادادی و همکاران، ۱۳۹۰) از حوضه رسوی کپه‌داغ مقایسه شده‌اند. تشابه فونهای موجود در برش رمشتیک و

از طرفی نهشته‌های زیر این توالی را ماسه سنگهایی تشکیل می‌دهند که فاقد نانوفسیل بوده‌اند و در نقشه زمین شناسی قاین منسوب به ژوراسیک می‌باشند (Alavi Naini & Behruzi, 1981). از این رو نمی‌توان گفت که ابتدای این بایوزون الزاماً در نهشته‌های مورد مطالعه وجود دارد. این بایوزون ۳۷۰ متر از ستون چینه‌شناسی را به خود اختصاص می‌دهد و مشتمل بر لایه‌های شیلی و سنگ آهکی می‌باشد. مجموعه فسیلهای همراه این بایوزون در برش مورد مطالعه را گونه‌های *Nannoconus dolomiticus* و *Nannoconus Biscutum constans quadratus* و *bronimannii* تشکیل می‌دهند.

CRETARHABDUS LORIEI ZONE (CC4)

این بایوزون را از اولین حضور گونه *Speetonia loriei* تا آخرین حضور گونه *Cretarhabdus loriei colligata* (Perch-Nielsen, 1985) تعریف می‌کند (Thierstein, 1976) برای شناسایی بازه زمانی هوتروین در منطقه تیس معرفی شده است و این گونه در مطالعه حاضر گونه *Cretarhabdus loriei* یافت نشد، اما از آن جا که ظهور گونه *bollii* در *Lithraphidites* مطالعات (Thierstein, 1976) برای شناسایی بازه زمانی هوتروین در منطقه تیس معرفی شده است، لذا برای تعیین سن این بخش از نهشته‌ها به این گونه استناد گردید. بایوزون مذکور که روی بایوزون CC3 قرار گرفته است، ۲۲۰ متر از ضخامت سنگ آهکهای موجود را به خود اختصاص داده است. جامعه نانوفسیلی نهشته‌های مذکور در این بازه زمانی مشتمل بر گونه‌های *Assipetra* و *Cycloglosphaera margerelli sterebrodentarius* و *Repagulum* و *Manivitella pemmatoides* و *parvidentatum* می‌باشد.

Lees, ۱۹۹۹؛ Barrera & Savin, 1999؛ Li & Keller, 1999
Markevich & Thibault & Gardin, 2003؛ ۲۰۰۶؛
Bugdaeva, 2007.

شايان توجه است که نانوفسیلهای آهکی نسبت به تغييرات دمایي بسيار حساسند و مجموعه‌های نانوفسيلي موجود در آبهای سرد اقianoسهاي کنونی متفاوت از مجموعه‌هاي موجود در آبهای گرم هستند. اين مسئله برای اقianoسهاي مزوژوئيک نيز صادق بوده است (Thierstein, 1981). از طرفی كربنات کلسیم در محیط‌هاي پلاژیك با حرارت بالا فراوان است و نانوفسیلهای اين مناطق دارای دیواره‌هاي ضخیم بوده و پلها و صلیب ناحیه مرکزی آنها کامل و ضخیم است.

در میان گونه‌های نانوفسیل آهکی در کرتاسه پیشین، گونه‌های *Nannoconus spp.* *Lithraphidites bollii*, *Watznaueria barnesae* شاخص مناطق با عرضهای جغرافیایی پایین و درجه حرارت بالا معرفی شده‌اند؛ Street & Bown, 2000؛ Thibault & Gardin, 2007؛ Watkins, 1996 (Watkins, 1996) و گونه‌های متعلق به جنس *Biscutum* شاخص آب سرد بوده و در محیط‌هاي گرم دیده نمي شوند Lottaroli & Lees, 2003 (Lees, 2003)؛ Pospichal & Thierstein, 1981؛ Catrullo, 2000 (Catrullo, 2000). Wisse, 1990.

حضور گونه‌های شاخص آب و هوای گرم همچون گونه‌های مختلف متعلق به جنس *Nannoconus* و حضور *Lithraphidites* و *Watznaueria barnesae* در برش رمشتیک و نيز نبود گونه‌های شاخص آب و هوای سرد (شکل ۶)، همچنین مشاهده کانالهای مشخص در *Nannoconus* که عمدۀ ترین اجتماعات در اين مطالعه را تشکيل مي دهد و دیواره‌هاي ضخیم و كامل در گونه‌هاي مختلف آن، مؤيد دمای بالاي حوضه در زمان تهنشيني نهشته‌های اين منطقه است.

برش طاهرآباد مؤيد وجود بايوزون CC3 با بازه زمانی والانژينين پسین در هر دو برش است. از سوي ديگر، بررسی و مقایسه نانوفسیلهای آهکی در گذر سازندهای شوريجه به تيرگان در برشهای کلات و مزدوران با برش رمشتیک، بايوزون CC5 که متعلق به هوتروین پسین است را در تمامی اين برشها تأييد مي نماید. وجود فلورای مشابه در برش رمشتیک با برشهای همزمان آن در حوضه رسوبی كپه‌داغ، بر ارتباط اين دو حوضه رسوبی در بازه زمانی والانژينين پسین - هوتروین پسین دلالت دارد.

بررسی تغييرات دما در ضخامت مطالعه شده و انطباق آن با تغييرات جهاني

با وجود اين که در زمان کرتاسه آب و هوا بسيار گرم تراز امروز بوده است (کرتاسه گرم‌ترین دوره فانروژوئيک می‌باشد)، اما درجه حرارت در آغاز کرتاسه پاين بوده و در اوخر آليين افزایش يافته است. افزایش دما تا کامپانين ادامه داشته و در انتهای مايستريشتین مجددًا کاهش يافته است. بنابراین دما در کرتاسه پیشین پاين تراز کرتاسه پسین بوده است (Norris *et al.*, 2001). افزایش دما موجب ناپديدی يخچالها شده و با ناپديدشدن يخچالها سطح آبهای کره‌ی زمين در کرتاسه بالا آمده است. اين موضوع از ابتدای ترياس تا اوخر ژوراسيک نيز وجود داشته و سطح آب دريا مرتب در تغيير بوده، ولی حداکثر بالا آمدن سطح آب در طی کرتاسه روی داده است (Kominz, 2001). اين تغييرات موجب شده تا محققين مختلف تغييرات دمایي اين دوره را براساس گروههای مختلف فسيي ثبت نمایند. بررسیهای انجام شده بر روی تغييرات دمایي کرتاسه بر پایه نانوفسیلهای آهکی، بسيار متعدد بوده و ييستر آنها نيز وجود شرایط دمایي پرنوسان برای کرتاسه را تأييد مي کنند (Roth, 1986؛ Eshet *et al.*, 1992؛ Roth, 1986 & Bowdler, 1981؛ Barrera *et al.*, 1997؛ Williams & Bralower, 1995).

می شود که سنی معادل والانژینین پسین - هوتروین پسین دارند. مقایسه نانوفسیلهای مطالعه شده با نانوفسیلهای گزارش شده از کرتاسه پیشین کپه داغ نشانگر شرایط یکسان رسوب گذاری در این دو بخش از حوضه تیس است. همچنین وجود گونه های شاخص آب گرم در هر دو حوضه حاکی از دمای بالای حاکم بر این حوضه های رسوبی در زمان تهیشی نهشته ها می باشد.

نتیجه گیری

نانوفسیلهای آهکی شناسایی شده در بر ش رمشتیک از حفظ شدگی خوب تا متوسط و تنوع به نسبت بالای برخوردارند. در این پژوهش ۳۳ گونه نانوفسیلی متعلق به ۱۸ جنس مختلف شناسایی و عکس برداری شدند. بر اساس گونه های شاخص حاضر، بایوزونهای CC5 تا CC3 از زون بندی (1977) Sissingh برای این توالی پیشنهاد

منابع

- آفتابی، ع.، ۱۳۸۳. زمین شناسی ایران. سازمان زمین شناسی و اکتشافات معدنی کشور، ۵۸۶ ص.
- خدادادی، ل.، هادوی، ف.، رحیمی، ب.، ۱۳۹۰. نانواستراتیگرافی و پالئوکولوژی گذر سازندهای سوریجه - تیرگان در دو بر ش مزدوران و کلات. پژوهش های چشم نگاری و رسوب شناسی، ۴: ۸۵-۱۰۰.
- هادوی، ف.، خزاعی، ا.، رضایی، ف.، ۱۳۹۰. نانواستراتیگرافی بر ش گازک واقع در غرب تا قدیس لهنا - ما هرود (جنوب شرق بیرون). نخستین کنگره تخصصی رسوب شناسی و چشم نگاری ایران، ص ۶۱.

- Alavi Naini, M., & Behruzi, A. 1981. Geological map of Qayen, scale 1:100,000. Geological Survey of Iran.
- Barrera, E., & Savin, S.M., 1999. Evolution of Campanian–Maastrichtian marine climates and oceans. In: Barrera, E., & Johnson, C.C., (eds.), Evolution of the Cretaceous Ocean–Climate System. *Geological Society of America, Special, Boulder*, 332: 245–282.
- Barrera, E., Savin, S.M., Thomas, E., & Jones, C.E., 1997. Evidence for thermohaline- circulation reversals controlled by sea level change in the latest Cretaceous. *Geology*, 25: 715–718.
- Bown, P.R., & Young, J.R., 1998. Techniques. In: Bown, P.R., (ed.), Calcareous Nannofossil Biostratigraphy. *British Micropaleontology Society*, 16- 28.
- Bown, P.R., 1999. Calcareous nannofossil biostratigraphy. *Klower Academic publication*, 315 p.
- Eshet, Y., Moskowitz, S., Habib, D., Benjamini, C., & Margaritz, M., 1992. Calcareous nannofossil and dinoflagellate stratigraphy across the Cretaceous/Tertiary boundary at Hor Hahar, Israel. *Marine Micropaleontology*, 18: 199–228.
- Hadavi, F., & Khodadadi, L., 2013. Nannostratigraphy and palaeoecology of uppermost Mozduran Formation in the Kopeh-Dagh range (NE Iran). *Arabian Journal of Geosciences*, 7: 1879-1889.
- Haq, B.U., 1978. Calcareous nannoplankton. In: Haq, B., & Boersma, A., (eds.), Introduction to Marine Micropaleontology. *Elsevier Science*, pp.79-107.
- Kominz, M.A., 2001. Sea level variations over geologic time. Western Michigan University, *Academic press*, pp.2605-2613.
- Lees, J.A., 2003. Calcareous nannofossil biogeography illustrates palaeoclimate change in the Late Cretaceous Indian Ocean. *Cretaceous Research*, 23: 537-634.
- Li, L., & Keller, G., 1999. Variability in Late Cretaceous and deep waters: evidence from stable isotopes. *Marine Geology*, 161: 171-190.
- Lottaroli, F., & Catrullo, D., 2000. The calcareous nannofossil biostratigraphic framework of the Late Maastrichtian - Danian North Sea chalk. *Marine Micropaleontology*, 39: 239–263.
- Markevich, V., & Bugdaeva, E., 2007. Climate during the Santonian to Danian based on Palynological data (Amur River Basin). *Daqing*, China, 22: 42-45.
- Norris, R.D., Kroon, D., Huber, B.T., & Erbacher, J., 2001. Cretaceous-Palaeogene Ocean and climate change in the subtropical North Atlantic. In: Norris, R. D., Kroon, D., & Klaus, A. (eds.), North Atlantic Palaeogene and Cretaceous Paleoceanography. *Geological Society of London*, 183: 1-22.

- Nowroozi, A.A., 1972. Focal mechanism of earthquakes in Persia, Turkey, West Pakistan and Afghanistan and plate tectonics of the Middle East. *Bulletin of Seismological Society America*, 62 (3): 823- 850.
- Perch-Nielsen, K., 1979. Calcareous nannofossils from the Cretaceous between the North Sea and the Mediterranean. *IUGS Series A*, 6: 223-272.
- Perch-Nielsen, K., 1983. Recognition of Cretaceous stage boundaries by means of calcareous nannofossils. In: Birkelund, T., et al., (eds.), *Symposium on Cretaceous Stage Boundaries, Copenhagen, Abstracts*, 152-156.
- Perch-Nielsen, K., 1985. Mesozoic Calcareous Nannofossils. In: Bolli, H.M., Saunders, J.B., & Perch-Nielsen, K. (eds.), Plankton Stratigraphy. *Cambridge University Press*, 329-426.
- Pospichal, J.J., & Wise, J.R., 1990. Calcareous nannofossils across the K-T boundary. ODP Hole 690C, Maud Rise, Weddell Sea. *Proceeding Ocean Drilling Program*. 113: 515- 532.
- Roth, P.H., & Bowdler, J.L., 1981. Middle Cretaceous calcareous nannoplankton biogeography and paleoceanography of the Atlantic Ocean. *SEPM Special Publication*. 32: 517-546.
- Roth, P.H., 1978. Cretaceous nannoplankton biostratigraphy and oceanography of the Northwestern Atlantic Ocean. *Initial Reports Deep Sea drilling Project*, 44: 731-759.
- Roth, P.H., 1986. Mesozoic palaeoceanography of the North Atlantic and the Tethys Oceans. In: Summerhayes, C.P., & Shackleton, N.J., (eds). *SEPM Special Publication*. 32: 517- 546.
- Sissingh,W., 1977. Biostratigraphy of cretaceous calcareous nannoplankton. *Geologie en Minjbouw*. 56: 37-65.
- Stocklin, J., & Nabavi, M.H., 1973. Tectonic map of Iran. *Geological Survey of Iran*.
- Stocklin, J., 1968. Structural history and tectonics of Iran: A review American Association Petrology. *Geologists Bulletin*, 52 (7): 1229-1258.
- Stocklin, J., 1972. Lexique Stratigraphique International. Geological Survey of Iran, Fascicule 9b, Iran.
- Street, C., & Bown, P.R., 2000. Palaeobiogeography of Early Cretaceous (Berriasian-Barremian) calcareous nannoplankton. *Marine Micropaleontology*, 39: 265-291.
- Taylor, R., 1979. Lower Cretaceous calcareous nannofossils. In: Lord, A.R. (ed.), A stratigraphical index of calcareous Nannofossils. *British Micropaleontology Society*, 40-80.
- Thibault, N., & Gardin, S., 2006. Maastrichtian calcareous nannofossil biostratigraphy and paleoecology in the Equatorial Atlantic (Demerara Rise, ODP Leg 207 Hole 1258A). *Reviews Micropaleontology*, 49: 199-214.
- Thibault, N., & Gardin, S., 2007. The late Maastrichtian nannofossil record of climate change in the South Atlantic DSDP Hole 525A. *Marine Micropaleontology*, 65: 163-184.
- Thierstein, H.R., 1976. Mesozoic calcareous nannoplankton biostratigraphy of marine sediments. *Marine Micropaleontology*, 1: 325-362.
- Thierstein, H.R., 1981. Late cretaceous nannoplankton and the change at the C/T boundary. *SEPM Special Publication*, pp.355-394.
- Watkins, D.K., 1996. Upper Cretaceous calcareous nannofossil biostratigraphy and paleoecology of the Southern Oceon. In: Moguilevsky, A., & Whatley, R., (eds.), *Microfossils and Oceanic Environments. University of Wales Aberystwyth Press*, pp.355-381.
- Williams, J.R. & Bralower, T.J., 1995. Nannofossil assemblages, fine fraction stable isotopes, and the paleoceanography of the Valanginian - Barremian (Early Cretaceous) North Sea Basin. *Paleoceanography*, 10: 815- 839.
- Wise, S.W., 1983. Mesozoic and Cenozoic calcareous nannofossils recovered by Deep Sea Drilling Project Leg 71in the Falkland Plateau Region, Southwest Atlantic Ocean. *Initial Reports Deep Sea drilling Project*, 71: 481 -550.

Investigation of the Early Cretaceous Calcareous Nannofossils in Rumeshtik section (Southeast Sarayan)

Notghi Moghaddam, M.^{1*}, Hadavi, F.², Khodadadi, L.³

1- Assistant Professor, Department of Geology, Payame Noor University, Tehran, Iran

2- Professor, Department of Geology, Faculty of Science, Ferdowsi University of Mashhad, Mashhad, Iran

3- Department of Geology, Payame Noor University, Tehran, Iran

*E-mail: m.n.moghaddam@gmail.com

Introduction

The Lut Block is also called the "Median Mass of East Iran". This basin is a region characterized by Jurassic-Cretaceous-Tertiary sequence (Stocklin and Nabavi, 1973). In this research, to determine the age of these sequences in the Sarayan region (Rumeshtik section), a detailed study of calcareous nannofossils under optical microscope was performed. This section, based on the structural classification of Iran, is located in the east margin of Lut block. Previous nannofossil studies of Cretaceous deposits in Lut Block were done by Hadavi *et al.* (2012) in Gazak section (East Birjand). In the present study, for the first time the nannofloras of the Rumeshtik section were discussed and biostratigraphy of these deposits were presented. The thickness of the studied sequence is 690 meters, and consists of limestone and shale. Ninety eight samples at intervals from 4-10 meter were collected. For the nannofossils, smear-slides were prepared using the technique of Bown and Young (1998) and examined under a light microscope at 1000 magnification by both cross-polarized and phase-contrast methods.

Discussion

In the present study, 33 species belong to 18 genera of calcareous nannofossils in Rumeshtik section were identified. These nannofossils are well to moderately preserved. Some species are abundant in the lowermost part of the studied sections, such as *Nannoconus dolomiticus*, *Nannoconus quadratus* and *Nannoconus boneti*, while other species are abundant in the uppermost part of the studied sequence such as *Nannoconus abundans*, *Nannoconus circularis*, *Nannoconus borealis*, *Lithraphidites bollii* and *Assipetra terebrodentaria*. According to the First occurrence (FO) of marker species, in Rumeshtik section, three calcareous nannofossil biozones (CC3-CC5) were recognized.

Calcicalathina oblongata zone (CC3): This zone explained as the interval from the FO of *C. oblongata* to FO *C. loriei* by Sissingh (1977). The age of this zone is Late Valanginian. This is the oldest identified zone in the studied section. Thickness of this biozone is about 370 meter.

Cretarhabdus loriei zone (CC4): This zone explained as the interval from the FO of *C. loriei* to last occurrence (LO) *Speetonia colligata* by Sissingh (1977). The age of this zone is Hauterivian. Thickness of this biozone is about 220 meter.

Lithraphidites bollii zone (CC5): This zone explained as the interval from the LO *S. colligata* to LO *C. oblongata* by Sissingh (1977). The age of this zone is Late Hauterivian to Barremian. *Nannoconus abundans* is an index species for Late Hauterivian (Taylor, 1979). Because of the continued presence of *C. oblongata*, and present of *N. abundans*, we located lower part of *Lithraphidites bollii* zone at the end of the studied section. Therefore age of the uppermost part of the studied section is Late Hauterivian. Thickness of this biozone is about 100 meter.

According to the calcareous nannofossil biostratigraphy, age of the sequence in the studied region is suggested to be Late Valanginian- Late Hauterivian.

In the current study, in addition to biostratigraphy, investigation of temperature changes was done too. During the Early Cretaceous time, some nannofossils such as *Lithraphidites bollii*, *Nannoconus* spp., and *Watnaueria barnesae* indicate the warm surface water and more related to lower paleolatitudes (Thibault & Gardin, 2007; Street & Bown, 2000). The common occurrence of species belong to the genus *Watnaueria*, *Lithraphidites*, and *Nannoconus* are indicative not only of a warm climate, but also of low latitude setting.

Results

In this study, 33 species with relatively well to moderately preservation were identified in the Rumeshtik section. The studied sediments belong to the zones CC3-CC5 of Sissingh (1977). These biozones attribution allow us to access an age of Late Valanginian- Late Hauterivian for the studied section. Index calcareous nannofossil species at the studied sediments indicate that the basin for deposition of these sediments located in low latitude with warm temperature.

Keywords: Calcareous nannofossils; Early Cretaceous; Rumeshtik; Sarayan.

References

- Hadavi, F., Khazaei, A.R., Rezaei, F., 2012. Nannostratigraphy of Gazak section in West Lahna- Mahroud (Southeast Birjand). *1st professional congress of sedimentology and stratigraphy*, p. 61 (in Persian).
- Bown, P.R., Young, J.R., 1998. Techniques. In: Bown, P.R., (ed.), *Calcareous Nannofossil Biostratigraphy. British Micropaleontology Society*, 16- 28.
- Sissingh,W., 1977. Biostratigraphy of cretaceous calcareous nannoplankton. *Geologie en Minjbouw*. 56: 37-65.
- Stocklin, J., Nabavi, M.H., 1973. Tectonic map of Iran. *Geological Survey of Iran*.
- Street, C., Bown, P.R., 2000. Palaeobiogeography of Early Cretaceous (Berriasian-Barremian) calcareous nannoplankton. *Marine Micropaleontology*, 39: 265-291.
- Taylor, R., 1979. Lower Cretaceous calcareous nannofossils. In: Lord, A.R. (ed.), *A stratigraphical index of calcareous Nannofossils. British Micropaleontology Society*, 40-80.
- Thibult, N., Gardin, S., 2007. The late Maastrichtian nannofossil record of climate change in the South Atlantic DSDP Hole 525A. *Marine Micropaleontology*, 65: 163-184.